

КРИСТАЛЛИЧЕСКАЯ СТРУКТУРА НОВОГО ЦЕПОЧЕЧНОГО ДИБОРАТА
TmH[B₂O₅] И ЕЕ СОПОСТАВЛЕНИЕ С РОДСТВЕННЫМ GdH[B₂O₅]
НА ОСНОВЕ ПСЕВДОСИММЕТРИИ И СООТНОШЕНИЯ ГРУППА–
ПОДГРУППА

© 2013 г. Е. Л. Белоконева, А. П. Зорина, О. В. Димитрова

Московский государственный университет им. М.В. Ломоносова

E-mail: elbel@geol.msu.ru

Поступила в редакцию 21.02.2012 г.

В гидротермальных условиях получены кристаллы нового редкоземельного цепочечного дибората TmH[B₂O₅], пр. гр. C2/c. Структура определена без предварительного знания химической формулы. Она близка к исследованному ранее диборату GdH[B₂O₅], в котором ось моноклинности не совпадает с таковой для Tm-бората. Атомы в обеих структурах расположены по закону ромбической псевдодонадгруппы Cmca, нарушающей наиболее явно смещением атомов редких земель. Общий для них анионный цепочечный радикал составлен из диборатных групп: BO₃-треугольников и BO₄-тетраэдротов, 2[1T + 1Δ]. Показано, что существование двух разновидностей относительно гипотетического ромбического прототипа определяется псевдосимметрией и различием ионных радиусов для элементов середины и конца ряда редкоземельных элементов. Двойникование и невысокое качество кристаллов связаны с влиянием *m*-псевдоплоскости надгруппы и спайностью. Рассмотрены структуры природных мегаборатов, содержащие в сложном борокислородном радикале диборатные цепочки.

DOI: 10.7868/S0023476113020045

ВВЕДЕНИЕ

Потребности техники в новых материалах стимулируют дальнейший синтез, изучение строения и свойств кристаллов, полученных в сложных боратных системах, включающих редкоземельные элементы. Безводные редкоземельные бораты уже представлены в этих системах рядом перспективных соединений [1, 2]. Кристаллохимия класса боратов представляет большой интерес и находится в стадии интенсивных исследований, в которых число структурных представителей пополняется, расширяя систематику боратов. В настоящей работе приведены результаты гидротермального синтеза, исследования кристаллической структуры нового цепочечного Tm-дибората (**I**), сравнительный анализ его строения с родственным Gd-диборатом (**II**) [3] и кристаллохимический анализ причины существования двух структурных разновидностей на основе псевдосимметрии и соотношения группа–подгруппа. Оригинальный диборатный цепочечный радикал сопоставлен со сложными радикалами природных мегаборатов уолкерита и пенобсквисита.

ЭКСПЕРИМЕНТАЛЬНАЯ ЧАСТЬ

Синтез и свойства кристаллов. Монокристаллы нового Tm-бората **I** получены в гидротермальных условиях в стандартных автоклавах объемом

5–6 см³, футерованных фторопластом. Параметры синтеза $t = 270\text{--}280^\circ\text{C}$ и $P \sim 70$ атм.; нижний предел температуры ограничен кинетикой гидротермальных реакций, верхний – возможностями аппаратуры. Продолжительность опытов (18–20 сут) выбрана из расчета полного завершения реакции. Коэффициент заполнения автоклава выбирали таким образом, чтобы давление оставалось постоянным. Весовое соотношение окислов Tm₂O₃ : B₂O₃ = 1 : 1. В растворе присутствовали в качестве минерализаторов ионы Cl[−], а также HCOOH в концентрации ~20 мас. %. Данная фаза была получена в ряде опытов не только с Tm, но с Yb и Ho. Синтез кристаллов конца REE-ряда проходил при pH = 1–5, измеренном после завершения реакции, т.е. в более кислой среде по сравнению с синтезом диборатов Sm и Gd (**II**), который проходил при pH = 5–6, т.е. в условиях, близких к нейтральным, при концентрации HCOOH 5 мас. %.

Опыт **I** былmonoфазным. Бледно-зеленоватые яблочного оттенка кристаллы образуют крупные сростки–сферолиты размером до 2.2 мм в диаметре. Сферолиты состоят из плоских параллельно и веерообразно сросшихся индивидов, что характерно и для родственного Gd-бората **II**. Встречаются также прозрачные индивиды изометрического облика. Как и для **II**, для кристаллов характерно параллельное срастание и спайность, что затрудняет выбор монокристалла для определе-

Характеристики эксперимента и уточнения структуры $\text{TmH}[\text{B}_2\text{O}_5]$ (**I**)

M	271.56
Сингония, пр. гр., Z	Моноклинная, $C2/c$, 4
$a, b, c, \text{\AA}$	6.8202(2), 8.6110(3), 11.4338(4)
β , град	91.416(3)
$V, \text{\AA}^3$	611.3(4)
$D_x, \text{г}/\text{см}^3$	5.374
Излучение	MoK_{α} , 0.71073
$\mu, \text{мм}^{-1}$	26.309
$T, \text{К}$	293
Размер образца, мм	0.025 × 0.025 × 0.05
Дифрактометр	XCalibur S
Тип сканирования	ω
θ_{\max}	34.89
Пределы hkl	$-10 \leq h \leq +10, -13 \leq k \leq +13, -18 \leq l \leq +17$
Количество рефлексов измеренных/независимых с $I \geq 1.96\sigma(I)/R_{int}$	13 322/1425/1185/0.067
Метод уточнения	$F^2(hkl)$
Весовая схема	$1/[\sigma^2(F_o)^2 + (0.131P)^2], P = [\max(F_o, 0)^2 + 2(F_c)^2]/3$
Число параметров	73
R_{all}	0.0758
R_{gt}, R_{wgt}	0.064, 0.1667
S	1.048
$\Delta\rho_{\min}/\Delta\rho_{\max}, \text{э}/\text{\AA}^3$	-3.36/+24.51
Программы	CSD, SHELX

ния структуры. Дифрактограмма не имела аналогов в базе данных PDF и совпадала лишь с нашими образцами. Оценочный тест на генерацию второй гармоники (ГВГ), выполненный с помощью импульсного ИАГ : Nd-лазера по схеме “на отражение” [4], свидетельствует о центросимметричности кристаллической структуры бората **I**, как и ранее **II**.

Рентгеноструктурное исследование. Определение и уточнение параметров **I** проводили на дифрактометре Xcalibur S с CCD-детектором для образца в виде небольшой прозрачной очень тонкой прямоугольной пластинки (таблица). Выбранный после ряда проб образец наиболее упорядочен, однако в нем также имеются некоторые рефлексы-сателлиты наряду с основными, по которым определяются параметры моноклинной ячейки. Для исследованных шести зерен они совпадают и составляют: $a = 6.82$, $b = 8.61$, $c = 11.43 \text{ \AA}$, угол моноклинности близок к 90° ($\beta = 91.4^\circ$), т.е. ячейка обладает псевдоромбической симметри-

ей, которая с теми же параметрами ячейки характерна и для **II**, однако его истинная ячейка, будучи также моноклинной, обладает иным особым направлением, отвечающим параметру 11.68, а не 8.61 \AA , как в **I**; выбранные для **II** параметры a и b соответствуют C -трансляциям псевдоромбической ячейки.

Трехмерный экспериментальный набор дифракционных данных для определения структуры получили в полной сфере обратного пространства. Обработка полученного массива выполнена в программе CrysAlis. Погасания рефлексов hkl : $h+k=2n, h0l: l=2n$ определяли пр. гр. $C2/c = C_{2h}^6$. Поиск модели выполнен в комплексе программ CSD методом тяжелого атома. Рефлексы усреднены до независимых в соответствующем дифракционном классе с усреднением фриделевых пар. Найден атом Тм в общей позиции, остальные атомы (два В и пять О) также в общих позициях пространственной группы локализованы из разностных синтезов Фурье. Анализ полученной модели показал, что, несмотря на различие параметров ячеек и пространственных групп, новая фаза **I** близка по своей структуре к исследованному ранее Gd-борату **II**. Уточнение позиционных и анизотропных тепловых параметров МНК выполнено в комплексе программ SHELXL с учетом аномального рассеяния Мо-излучения и варьированием весовой схемы. Введена поправка на поглощение для **I** с учетом формы кристалла. В полученной для **I** формуле TmB_2O_5 не хватает одного положительного заряда. В структуре исследованного ранее **II** локализованы атомы Н в катионной функции, что отвечает формуле $\text{GdH}[\text{B}_2\text{O}_5]$. Протонирование для **II** связано с присутствием в растворе HCOOH, что имеет место и для **I**. На остаточном синтезе электронной плотности **I** имеется дополнительный пик вблизи атома Тм в **I**, как и раньше вблизи атома Gd в **II**. Среди меньших по высоте пиков обнаружен пик, отвечающий позиции атома Н в общем положении пространственной группы с координатами $x = 0.1984, y = 0.1679, z = 0.1679$. Как и в **II**, он находится на расстоянии 1.38 \AA от атома O3 и 1.66 \AA от атома O2, т.е. имеет катионную функцию. Это определяется сходством условий получения кристаллов. Формула для **I** аналогична таковой для **II** – $\text{TmH}[\text{B}_2\text{O}_5]$. Уточнение позиции атома Н не проводилось. Кристаллографические данные, характеристики эксперимента и заключительного уточнения структуры приведены в таблице. Данные о структуре депонированы в ICSD, № 424296.

РЕЗУЛЬТАТЫ И ИХ ОБСУЖДЕНИЕ

В кристаллической структуре **I** атомы Тм на расстояниях 2.21–2.47 \AA координированы восемью атомами кислорода, образующими много-

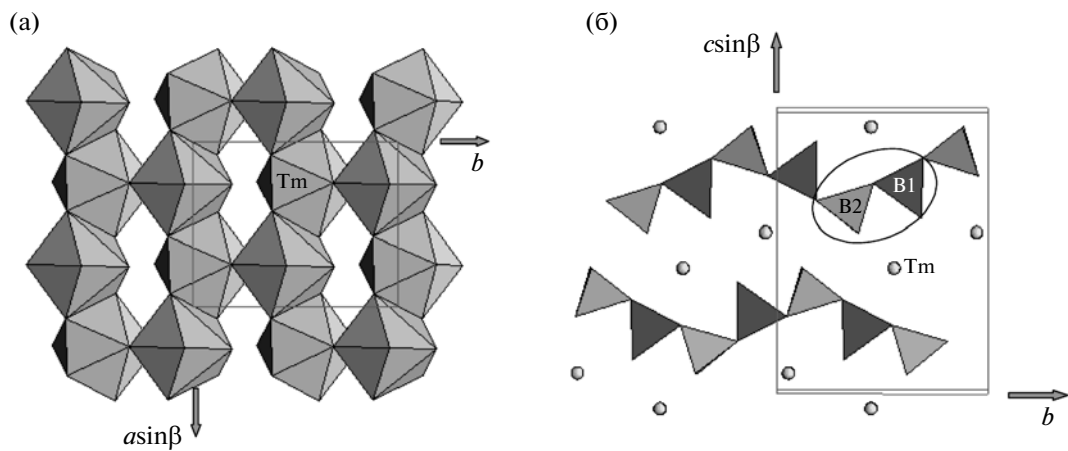


Рис. 1. Структура $\text{TmH}[\text{B}_2\text{O}_5]$, полиэдры атомов Tm , объединенные в слой, в проекции ac (а), дифоратные цепочки в проекции bc , В-тетраэдры и В-треугольники, атомы Tm (шары), дифоратный блок (овал) (б).

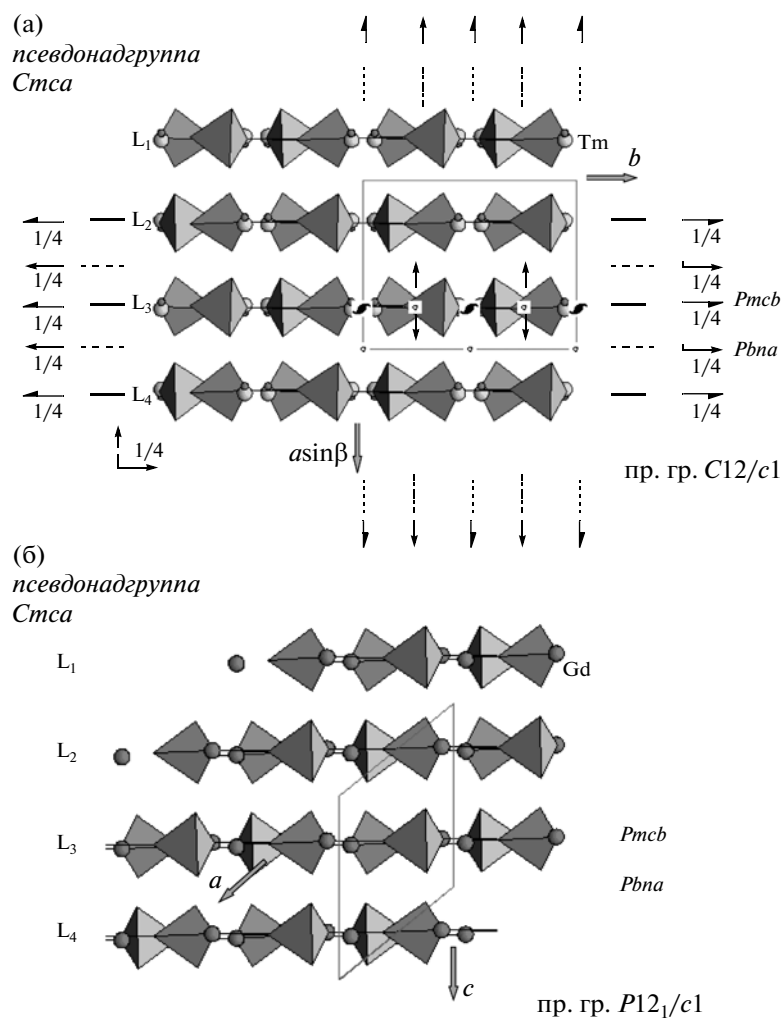


Рис. 2. Структура $\text{TmH}[\text{B}_2\text{O}_5]$ в проекции ab , В-тетраэдры и В-треугольники, атомы Tm (шары), обозначены элементы симметрии надгруппы, показаны группы симметрии “слоев” L_1 , L_2 ... с цепочками и группы симметрии, объединяющие слои в пары (а), структура $\text{GdH}[\text{B}_2\text{O}_5]$ в проекции ac , отвечающей тому же ракурсу, что и в (а), показаны те же группы “слоев” с цепочками и группы, объединяющие слои в пары (б).

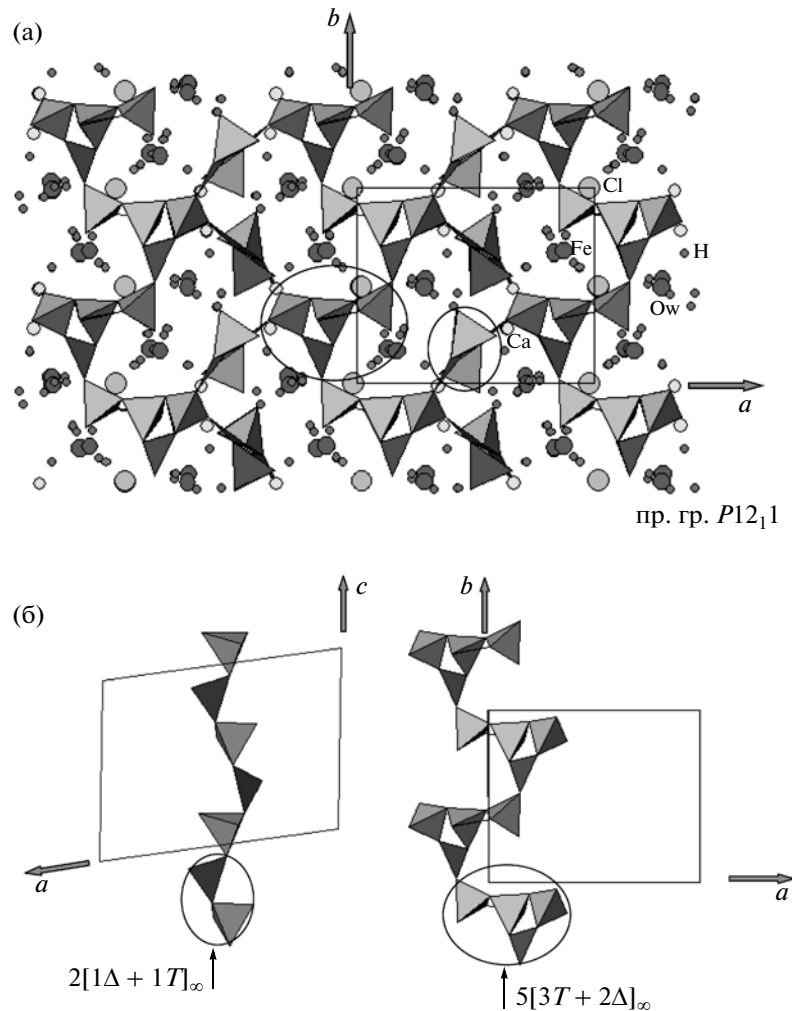


Рис. 3. Структура пенобсквисита в проекции ab , В-тетраэдры и В-треугольники каркаса, выделены овалом пентаборатная и диборатная составляющие, атомы – наполнители каркаса (шары) (а); пентаборатная и диборатная цепочки во взаимно-перпендикулярных проекциях ac и ab , овалом выделены ди- и пентаборатные блоки (б).

гранник, полностью идентичный таковому для Gd в II. Полиэдры, объединяясь между собой по вершинам и ребрам, образуют в структуре слои на уровнях ~ 0 и $1/2$ по оси b (рис. 1а). Анионная часть структуры представлена атомами бора в треугольной и тетраэдрической координации с типичными межатомными расстояниями 1.34–1.39 и 1.44–1.53 Å соответственно. Два независимых полиэдра, B(1)-тетраэдр и B(2)-треугольник – диборатная группа – связаны по вершинам в изолированные цепочки $2 : [1T + 1\Delta]_\infty^{8-}$, согласно структурной систематике [5], это одномерно конденсированный диборат. Цепочки вытянуты по оси b и расположены на двух уровнях по оси c (рис. 1б).

Как упоминалось ранее, для обоих диборатов I и II характерна одинаковая псевдосимметрия, описываемая надгруппой $Cmca$ (подчеркнем, что истинная симметрия кристаллов – моноклинная).

На рис. 2а для I показаны все элементы симметрии надгруппы. “Слою” с цепочками, расположенно- му на $1/4$ по оси a , как и в II, отвечает локальная ромбическая псевдогруппа Pmc , подгруппа $Cmca$, все элементы симметрии которой принадлежат “слою” (при этом треугольники лежат в зеркальной псевдоплоскости, а тетраэдры делятся ею пополам, точно так же, как для I [3]). Соединение “слоев” с цепочками в пары происходит иными локальными элементами симметрии, отвечающими ромбической группе Pbn и подгруппе $Cmca$. Кратности группы “слоя” и группы симметрии, размножающих “слои” в пары, одинаковы, и, согласно симметрийным принципам OD-теории [6], нет вариантов во взаимном расположении “слоев” в структурах I и II.

Причина существования двух структурных разновидностей заключена в наличии псевдосимметрии и в величинах радиусов ионов редкозе-

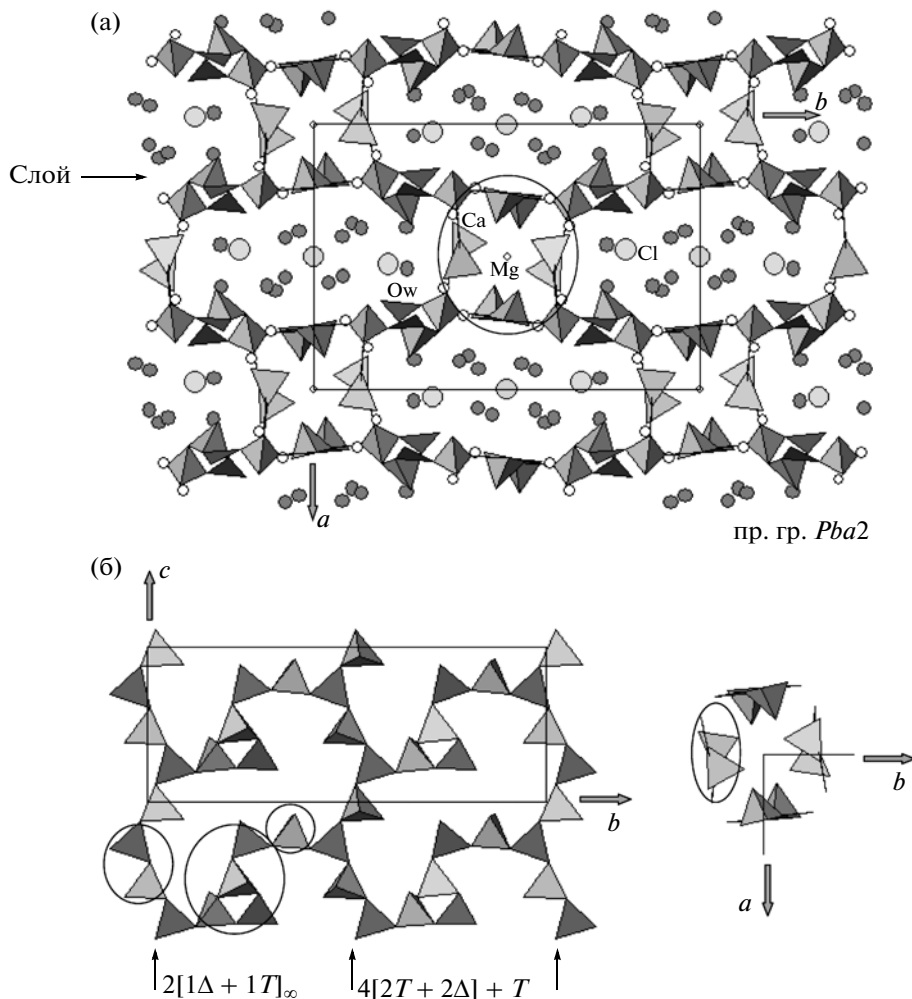


Рис. 4. Структура уолкерита в проекции *ab*, В-тетраэдры и В-треугольники каркаса, показан слой и выделены овалом диборатные цепочки, атомы – наполнители каркаса (шары) (а); слой, составленный из диборатных цепочек и скрепляющих их боратных блоков, и четверка диборатных цепочек во взаимно-перпендикулярных проекциях *bc* и *ab*, овалом выделены ди-, недостроенный пента- и изолированный моно-блоки (б).

мельных элементов для двух фаз: конца ряда Ho, Tm, Yb (**I**) и середины ряда Sm, Gd (**II**). Смещения ионов с псевдоплоскости *m* обеспечивают лучшее координационное окружение, и для меньшего иона конца ряда среднее расстояние Tm–O – 2.34 Å, а для большего иона середины ряда Gd–O – 2.40 Å. При этом для “слоя” с цепочками псевдосимметрия практически отвечает истинной симметрии. В ромбическом псевдосимметричном прототипе позиции редких земель частные, на зеркальных плоскостях, а его искажения отвечают сохранению различных осей моноклинности в **I** и **II**. При смещении меньших Tm⁺³ парами с псевдоплоскости *m* и расположении их выше и ниже *m* сохраняется особое направление – ось моноклинности, отвечающая параметру ~8.6 Å. Остаточные пики электронной плотности (таблица, рис. 2а) представляют собой “размноженные” плоскостью *m* положения атомов Tm. В структу-

ре **II** атомы Gd смешены косо к псевдоплоскости *m*, что определяет сохранение оси моноклинности вдоль параметра ~11.68 Å (рис. 2б). Наличие зеркальной псевдоплоскости обуславливает несовершенство кристаллов **I** и **II**, их двойникование, дефектность и, как следствие, несколько завышенные факторы расходимости, полученные в уточнении. Плоскость спайности кристаллов, которая также обуславливает их несовершенство, параллельна *bc* и проходит между слоями, в которых находятся В–O-цепочки и атомы Tm, как и в Gd-диборате.

В новых сложных минералах пенобсквисите $\text{Ca}_2\text{Fe}[\text{Cl}|\text{B}_9\text{O}_{13}(\text{OH})_6]\text{Cl} \cdot 4\text{H}_2\text{O}$ [7] и уолкерите $\text{Ca}_{16}(\text{Mg},\text{Li},\square)_2[\text{B}_{13}\text{O}_{17}(\text{OH})_{12}]_4\text{Cl}_6 \cdot 28\text{H}_2\text{O}$ [8] цепочечные радикалы на основе диборатного блока $2[1\Delta + 1T]$ в сочетании с другими блоками формируют каркасные радикалы. В соответствии с имеющейся систематикой [5], они относятся к

мегаборатам как обладающие разными типами блоков. В пенобсквисите каркас (рис. 3а) составлен из двух типов цепочек: диборатных на основе блока $2[1\Delta + 1T]$, вытянутых вдоль оси c , и пентаборатных на основе блока $5[3T + 2\Delta]$, вытянутых вдоль оси b (рис. 3б). В отличие от большинства известных пентаборатов [9] конденсация блоков осуществляется при их ориентации перпендикулярно направлению цепочки. Известен пример “неудобной” ориентации пентаборатного блока при его конденсации в цепочку в синтетическом слоевом пентаборате $\text{Ba}_2[\text{B}_5\text{O}_8(\text{OH})_2]$. В синтетическом слоевом мегаборате $\text{Cs}_3\text{B}_7\text{O}_{12}$ [10] с максимально сложным борокислородным радикалом из всех известных один из слоев пакета составлен из цепочек с перпендикулярной ориентацией блоков и цепочек с параллельной ориентацией. Вариации в расположении треугольников и тетраэдров в пентаблоках приводят к большей компактности цепочки в пенобсквисите по сравнению с синтетическими боратами. Взаимно перпендикулярные ди- и пентаборатные цепочки пенобсквисита, соединяясь по общим кислородным вершинам, образуют полярный каркас, в полостях которого находятся катионы Ca , Fe , анионы Cl и молекулы воды Ow . Для уолкерита также характерен полярный каркас с крупными полостями, заполненными катионами Ca , Mg , анионами Cl и молекулами воды Ow (рис. 4а). Каркас составлен из диборатных цепочек, которые входят в слой, а также скрепляют слои между собой, так что в начале координат имеется четверка вертикально расположенных диборатных цепочек (рис. 4), из которых верхняя и нижняя принадлежат слою. В слое диборатные цепочки соединены недостроенным пентаборатным блоком $4[2T + 2\Delta]$ и изолированным тетраэдром $1[T]$.

Таким образом, исследован новый представитель структур с изолированной диборатной це-

почкой, которая не встречается ни в каких других природных или синтетических фазах. Выявлены псевдосимметрия фаз I, II, показано происхождение моноклинных разновидностей для середины и конца ряда редкоземельных элементов как результат смещений этих ионов с псевдоплоскостями t для обеспечения их оптимальной координации.

Авторы выражают благодарность Н.В. Зубковой за помощь в получении дифракционного эксперимента и С.Ю. Стефановичу за исследование ГВГ.

Работа выполнена при финансовой поддержке Российского фонда фундаментальных исследований (грант № 11-03-00544).

СПИСОК ЛИТЕРАТУРЫ

- Леонюк Н.И., Леонюк Л.И. Кристаллохимия безводных боратов. Изд-во МГУ, 1983. 215 с.
- Арсеньев П.А., Ковба Л.М., Багдасаров Х.С. и др. Соединения редкоземельных элементов. Системы с оксидами элементов I–III групп. М.: Наука, 1983. 280 с.
- Иванова А.Г., Белоконева Е.Л., Димитрова О.В. // Журн. неорган. химии. 2004. Т. 49. № 6. С. 816.
- Stefanovich S.Yu. // Extended Abstracts of Europ. Conf. on Lasers and Elecro- Optics (CLEO - Europe' 94). Amsterdam, 1994. P. 249.
- Strunz H. // Eur. J. Mineral. 1997. V. 9. P. 225.
- Dornberger-Schiff K. // Abh. Deutsch. Akad. Wiss. Berlin. 1964. B. 3. S. 1.
- Grice J.D., Gault R.A., Van Velthuizen J., Pratt A. // Can. Mineral. 1996. V. 34. P. 657.
- Grice J.D., Gault R.A., Van Velthuizen J. // Can. Miner. 2002. V. 40. P. 1675.
- Belokoneva E.L. // Cryst. Rev. 2005. V. 11. P. 151.
- Novogrocki G., Penin N., Touboul M. // Solid State Sci. 2003. V. 5. P. 795.